

669.15' 71' 786 - 194 : 621.785.371 : 637.312  
: 546.621' 173

S 482

(150)

加工した高純度 Fe-Al-N 合金中に析出した AlN の析出挙動

70150

神戸製鋼所 神田基礎研究所 八木芳郎 福澤和郎  
O.小川龍郎

### 1. 緒言

$\alpha$ -Fe 中に AlN の析出挙動を純粹化系で調べた結果、常温精製した高純度鉄を用いた Fe-Al-N 混合合金を作った。これを  $1250^{\circ}\text{C}$  で溶体化処理し、水中へ急冷し、 $\alpha$  成分焼純  $3=2$  にて  $\text{Fe}^{\prime\prime}$  AlN を析出させた。この析出挙動を電気抵抗、内部摩擦等で調べた結果を報告した。今回も、溶体化処理後、常温で強加工して試料中に析出した AlN の析出挙動について調べた結果を報告する。

### 2. 試料と実験方法

試料は湿潤した乾燥水素中で交互に 5 回常温精製した高純度鉄 (99.99% 以上) を素材とした。これに Al と N を添加して  $\text{Fe}-\text{Al}-\text{N}$  の化学分析の結果で Al: 0.09 wt%, N: 0.01 wt% を含む。この試料を  $1.8 \text{ mm}^2$  の線引き加工を行って、 $1250^{\circ}\text{C} \times 1/\text{hr}$  の溶体化処理後、水中に急冷し、つづいて室温で 6.9% の線引き加工を行って、 $\text{Fe}^{\prime\prime}$ 。この試料を以下に述べた種々の条件で焼純した。各焼純では試料を He ガスと共に封入できる特殊装置を作り、ベルトバスを用いて行った。電気抵抗の測定は液体窒素中で Digital Voltmeter (YEW TYPE ZP05) を用いて行った。

### 3. 結果と考察

図 1 は  $10^{\circ}\text{C}/10\text{min}$  の等時焼純の結果を示す。前回報告した加工してから試料と比較して鉄の空化物の溶解度が  $= 3$  倍、AlN の析出が  $100^{\circ}\text{C}$  ほど低温側で起こり、大きな抵抗値の減少のみならず stage 2, それに  $\text{Fe}^{\prime\prime}$  で少しお抵抗値の減少のみならず stage 3 で観察された。最初の大半の電気抵抗の減少は AlN の析出に対するものと考えられる。この変化の  $= 3$  領域の各温度での等温焼純を行って、結果を図 2 に示す。 $= 2$   $\text{K}/\text{min}$  程度の加熱速度の温度は  $= 2$  の等時焼純と  $50^{\circ}\text{C}$  ずつ  $= 2$  から  $= 3$  低下と同程度の低下である。

また、等時焼純の場合と同様に  $= 2$  の 2 段の変化がみられる。この最初の stage を規格化して Arrhenius plot をとると  $527^{\circ}\text{C}$ ,  $557^{\circ}\text{C}$ ,  $577^{\circ}\text{C}$  の直線  $= 2$  あり、活性化エネルギーは  $4.62 \text{ kcal/mol}$  である。これ以上の温度では析出が止まることになる。これは加工組織の再結晶と密接な関係がある。各温度での再結晶率の測定の結果、 $557^{\circ}\text{C}$  では析出が完了して後は再結晶が急激に  $= 3$  が、 $627^{\circ}\text{C}$  では  $3 \text{ min}$  の焼純で  $= 2$  が  $= 70$  % 再結晶して析出が止まる。1% と 1% の再結晶が進行して  $= 2$  の  $577^{\circ}\text{C}$  では析出が再結晶より優先し、再結晶が止まると  $= 2$  の速度が下がる。

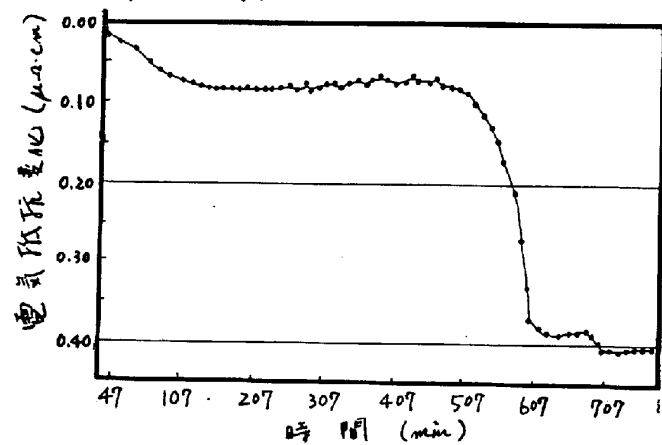


図 1.  $10^{\circ}\text{C}/10\text{min}$  等時焼純曲線

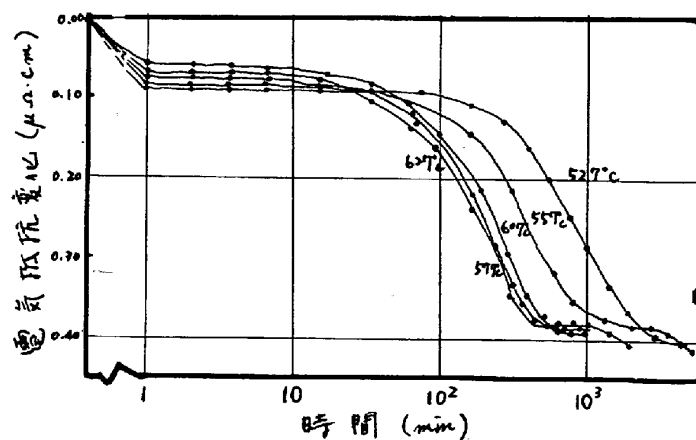


図 2. 等温焼純曲線